

(株)神戸製鋼所 正員 ○ 広中 邦汎

" 大石 靖

" " 新家 敏

1. まえがき

吊橋や斜張橋などのケーブル部材は、本四連絡橋における道路鉄道併用橋などのように、高振幅の変動荷重状態で使用される傾向が高まっており、したがって疲労に対する検討が重要な課題になっている。しかし、これまでケーブル部材とくに太径ケーブルの疲労に関する実験例は多くなく、その疲労強度特性は明らかでない。本研究は、これを明らかにしまたケーブル設計のために資料を得ることも目的として、吊橋や斜張橋などで近年多く使用されているパラレルワイヤストランド(PWS)の引張疲労試験を実施したものである。

2. 実験の概要

(1) 供試体 径5mmの重鉛メッキ鋼線を91本平行に束ねたストランド(PWS-91)を6本製作し両端をリケットティングした。図-1にPWS-91の仕様および供試体寸法を示す。リケットはJIS F3432に基づいて製作し、内部に460°Cの溶融重鉛(98%)-銅(2%)合金を封入してPWSを定着した。なおリケット定着後、前処理なし、リケット後部に120tの圧縮力を与えた。

(2) 実験装置および試験条件 図-2に示す装置に供試体を設置し、油圧式50t疲労試験機により部分片振り引張荷重(荷重制御)を与えた。表-1に各供試体についての疲労試験条件を示す。なお、疲労破断した素線は応力が除かれれば、断線後も荷重は変化せず、全期間一定に保たせた。

(3) 計測 PWS素線の疲労破断は振動法による断線検出装置により検出し、断線数の累積と繰返数、関係を求めた。また所定の繰返数ごとにPWSの静的伸長測定を行って弹性係数の変化を求めた。

(4) 残留強度試験 疲労試験終了後、静的引張破断試験を行って繰返載荷を受けたPWSの残留強度を求めた。

3. 実験結果

(1) 断線発生状況 図-3(a)は断線数の累積と繰返数の関係を求めてあるのである。(No. 1, 2, 6は断線なし)

No. 3 および No. 5 はともに繰返数 20~50万回の間に断線が発生しておらず、ある断線数に達するまでは断線数が増しておらず断線の発生は認められない。No. 4 では初断線が N=135万回に達するまでは断線が発生しない。こうしたPWSの断線発生状況を吊橋ハシガーを対象としたストランドロープの引張疲労試験と対比させると、ストランドロープでは断線数がある程度累積するものの後断線が続発して最終的にはロープ破断に導くものに対して、PWSでは

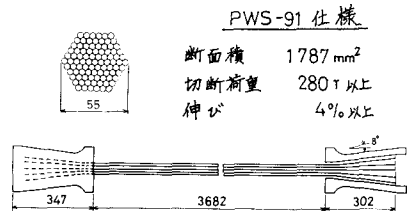


図-1 供試体

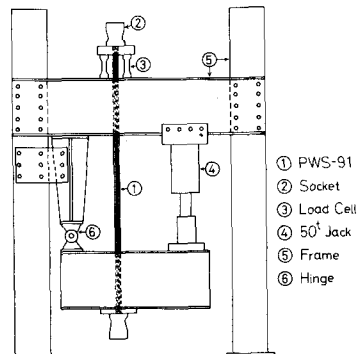


図-2 実験装置

表-1 疲労試験条件

No.	上限荷重 t (応力 kg/mm²)	下限荷重 t (応力 kg/mm²)	繰返速度 c.p.m. ×10⁴	全繰返数 ×10⁴
1	53.6 (30)		200	400
2	53.6 (30)		200	420
3	71.4 (40)		167	210
4	62.5 (35)	17.9 (10)	183	400
5	58.0 (32.5)		183	400
6	58.0 (32.5)		183	400

断線数がある本数で停留する現象を示し、両者の断線進行状況に相違がみられた。

図-4は、疲労破断した素線の発生位置も断面および長手方向に表わしたものである。断面方向には断線位置は比較的分散しているが、長手方向にみるとすべてソケット内部で断線が発生している。すなわちPWS素線はソケット内部で放射状に広げられているが、この折点部附近に集中している。この箇所に疲労破断が集中した原因としては、素線の曲率形状あるいは定着合金詰込み時の熱の影響などが考えられる。

(2) 弹性係数 図-3(b)に、所定繰返数ごとに計

測して伸びから求めた弾性係数 $E = Tl/AS$ (T : PWS 張力, l : ソケット周長) の変化の状況を示す。ただし断面積 A は仕様値よりも断線による欠損を考慮していない。これより、断線時に弾性係数は低下するが、それ以外では繰返数とともにわずかずつ上昇する傾向を示した。断線時の低下率は、断線による断面欠損率とほぼ同一である。

(3) 残留強度 表-2に疲労試験後に実施した引張破断試験の結果を示す。破断荷重、伸びは実験値を、また強度率(1)、(2)および引張強さは、破断荷重をもれか保証切断荷重($280\pm$)、No.1, 2, 6の破断荷重平均値($292\pm$)および断線欠損分を差引いた断面積で除したものである。この結果より、断線のない供試体は強度、伸びとも仕様値を十分に満足しており、また No.3, 4, 5の強度低下率は断面欠損率とほぼ同一で、引張強さは全供試体でほとんど差がみられない。すなわち、断線以外には疲労載荷を受けたPWS各素線の静的強度は変化しておらず、したがってPWSの強度は断線数によって決定されるものと思われる。

4.まとめ

図-5は断線発生時の繰返数と応力振幅(下限应力 10 kg/mm^2 一定)の関係をまとめたものである。これより、 $N=200$ 万回時の強度は一応 $\Delta \sigma = 20 \text{ kg/mm}^2$ が確保され、また No.5 を除けば、S-N 図形はほぼ直線となる。No.5が早期に断線を発生したのは、供試体の製作時とくにソケット定着時に何らかの欠陥が入ったものではなかと思われる。

今回はPWS-91について6体の引張疲労試験結果を報告したが、今後さらに同種の実験も継続して、PWSの疲労強度特性をより一層明確にしていく予定である。

(参考文献)

- 1) 広中、横口、奥川「ロ-70の疲労試験時の断線検出について」第30回土木学会年次講演集 昭和50年
- 2) 奥川、田島、本郷「60#ハンガーロ-70(CFRC型)の疲労特性」第31回 昭和51年

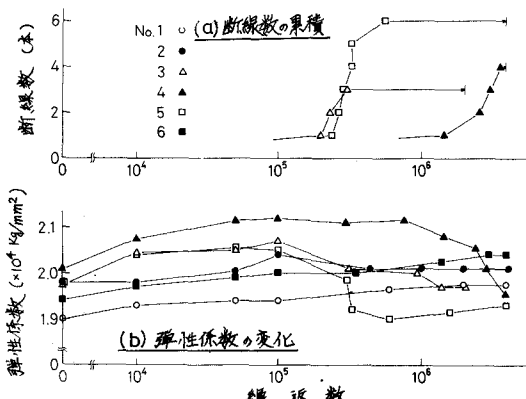


図-3 断線累積・弾性係数と繰返数の関係

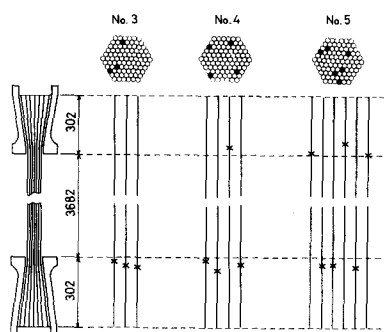


図-4 断線発生位置

表-2 残留強度試験結果

No.	破断荷重 t	強度率 (1) %	強度率 (2) %	引張強さ kg/mm ²	伸び %
1	293.0	104.6	100.3	164.0	5.2
2	292.0	104.3	100.0	163.5	5.7
3	283.0	101.1	96.9	163.9	5.4
4	280.5	100.2	96.1	164.3	5.6
5	269.5	96.3	92.3	161.7	4.8
6	291.5	104.1	99.8	163.2	5.8

